
**НОВЫЕ РАДИОЭЛЕКТРОННЫЕ
СИСТЕМЫ И ЭЛЕМЕНТЫ**

УДК 621.3.049.774.2

АНАЛИЗ ПАССИВНОГО СМЕСИТЕЛЯ ЧАСТОТ С УПРАВЛЕНИЕМ ПО ТОКУ НА ПРОИЗВОЛЬНОЙ ПРОМЕЖУТОЧНОЙ ЧАСТОТЕ С УЧЕТОМ ВХОДНОГО И ВЫХОДНОГО ИМПЕДАНСОВ

© 2023 г. А. С. Коротков^а *, Т. Д. Чан^а^а Санкт-Петербургский политехнический университет Петра Великого,
Политехническая ул., 29, Санкт-Петербург, 195251 Российская Федерация

*E-mail: korotkov@spbstu.ru

Поступила в редакцию 12.04.2022 г.

После доработки 04.08.2022 г.

Принята к публикации 25.08.2022 г.

Предложена обобщенная методика расчета схемы пассивного смесителя частот с управлением по току на произвольной промежуточной частоте с учетом комплексного входного импеданса источника тока и выходной нагрузки. Приведены результаты моделирования в среде Micro-Cap и сравнения с расчетом. Рассмотрены частотные зависимости передаточного импеданса.

DOI: 10.31857/S0033849423010072, EDN: CCZ1BX

ВВЕДЕНИЕ

Представляется перспективным применение смесителей частот с управлением по току при построении многофункциональных и многодиапазонных приемо-передающих устройств [1]. В общем случае смесители частот классифицируются по двум основным группам: 1) пассивные смесители – на диодах [2], полевых транзисторах, работающих при нулевом смещении [3], на основе схемы с коммутационным управлением по току [1]; 2) активные смесители на основе схемы Гильберта – на биполярных [4], полевых транзисторах [5]. Преимущество пассивных смесителей – отсутствие потребляемой мощности (или очень низкая потребляемая мощность), активных смесителей – усиление входного сигнала. Активные смесители на основе схемы Гильберта подробно проанализированы, например, в [6]. В традиционной схеме Гильберта протекающие через транзисторы токи содержат не только переменную, но и постоянную составляющую (ток смещения). Было показано, что фликкерный шум транзисторов, как низкочастотный эффект, на выходе активного смесителя определяется в том числе постоянным током [7]. Пассивный смеситель с управлением по току коммутирует только радиочастотный ток с выхода малошумящего усилителя преселектора, поэтому влияние фликкерного шума в этом смесителе существенно меньше. Кроме того, пассивный смеситель с управлением по току обеспечивает высокую линейность [8]. Благодаря этим преимуществам, пассивные смесители с управлением по току применяются в раз-

личных современных беспроводных системах: сенсорные сети [9], мобильные системы пятого поколения [10], интернет вещей [11].

Схема пассивного смесителя частот с управлением по току проанализирована в [12] при комплексном входном импедансе и импедансе нагрузки как RC -цепи. Однако при этом предполагается, что на частоте гетеродина и его гармониках импеданс нагрузки много меньше, чем входной импеданс на частоте гетеродина. Данное предположение позволяет упростить анализ, но приводит к пренебрежению в выходном сигнале гармониками на комбинационных частотах $\omega_{пч} + w\omega_r$, где $\omega_{пч}$ – промежуточная угловая частота, ω_r – угловая частота гетеродина, w – номер гармоники частоты гетеродина. Кроме того, моделирование показало, что приведенные в данных статьях результаты обеспечивают высокую точность расчета при условии малости импеданса нагрузки на частоте гармоник гетеродина по сравнению с его значением на промежуточной частоте. Так, для схемы с числом плеч 4 при значениях конденсатора нагрузки 10 пФ, промежуточной частоты 100 МГц, входной частоты 2.1 ГГц при сопротивлении нагрузки 100 Ом ошибка составила около 2%, а при сопротивлении нагрузки 10 Ом ошибка составила около 20%. Как следствие, результаты анализа имеют сравнительно невысокую точность при малом входном импедансе или малом сопротивлении нагрузки. Схема пассивного смесителя с управлением по току также проанализирована в [13] при произвольной промежуточной частоте, но входной импеданс представляется как рези-

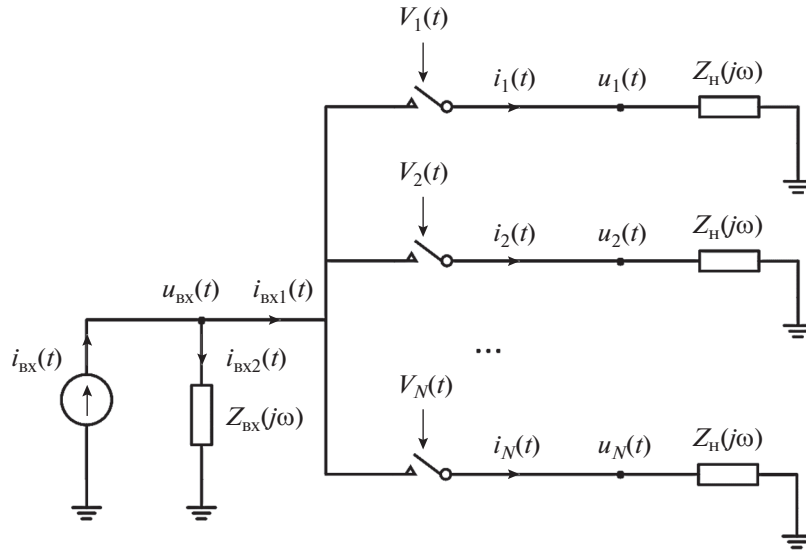


Рис. 1. Структурная схема переключаемой части пассивного смесителя частот с управлением по току.

стор, что не позволяет оценить частотный диапазон смесителя, поскольку не учитывается влияние выходной емкости входного источника тока. Таким образом, приведенные ограничения снижают точность расчетов и не позволяют использовать приведенные методики в общем случае.

В данной работе представлена обобщенная методика анализа и расчета передаточного импеданса $Z_{см}$ пассивного смесителя частот с управлением по току на произвольной промежуточной частоте с учетом комплексного характера входного импеданса источника тока и импеданса нагрузки для случая идеального переключения ключей без учета нелинейных свойств компонентов схемы. Передаточный импеданс представляет отношение выходного напряжения как отклика схемы на входное воздействие в виде тока, а не напряжения, как в случае передаточной функции по напряжению. Другими словами – передаточный импеданс описывает рассматриваемый тип смесителя с учетом характера входного воздействия.

Цель данной работы – теоретический расчет схемы пассивного смесителя частот с управлением по току в линейном приближении; анализ эффекта компенсации гармоник; моделирование схемы и сравнение с теоретическим расчетом.

1. АНАЛИЗ СХЕМЫ СМЕСИТЕЛЯ

Структурная схема переключаемой части пассивного смесителя частот с управлением по току показана на рис. 1. Преобразование осуществляется с помощью схемы коммутации ключей (транзисторов в ключевом режиме). Ключи периодически коммутируются с частотой гетеродина f_r с помощью импульсного сигнала гетеродина $V_{0k}(t)$. В ре-

зультате входной высокочастотный ток с выхода малошумящего усилителя преселектора преобразуется в ток на промежуточной частоте.

1.1. Расчет тока $i_k(t)$

Предполагается, что транзисторы переключаются из открытого состояния в режим отсечки и обратно (ключевой режим) при подаче последовательности импульсов гетеродина. В каждом периоде только k -е плечо подключено к входу на отрезке времени $\tau = T_r/N$, где T_r – период сигнала гетеродина, N – количество плеч. Следовательно, ток $i_k(t)$, протекающий через подключенное плечо, равен току $i_{вх1}(t)$ на этом отрезке времени. Поэтому ток $i_k(t)$ определяется соотношением

$$i_k(t) = i_{вх1}(t)V_k(t), \quad (1)$$

где $V_k(t) = V_{0k}(t)/V_0$ – нормированная управляющая функция k -го ключа, показанная на рис. 2, V_0 – максимальное значение сигнала гетеродина, причем

$$V_k(t) = 1, \quad t \in [(v + (k - 1)/N)T_r, (v + k/N)T_r], \\ V_k(t) = 0, \quad t \notin [(v + (k - 1)/N)T_r, (v + k/N)T_r], \\ v \in Z.$$

Разложим функцию $V_k(t)$ в ряд Фурье:

$$V_k(t) = \frac{a_{0,k}}{2} + \sum_{n=1}^{+\infty} a_{n,k} \cos\left(\frac{2n\pi t}{T_r}\right) + \\ + \sum_{n=1}^{+\infty} b_{n,k} \sin\left(\frac{2n\pi t}{T_r}\right),$$

где коэффициенты определены как

$$a_{0,k} = \frac{2}{T_r} \int_0^{T_r} V_k(t) dt = \frac{2}{N},$$

$$a_{n,k} = \frac{2}{T_r} \int_0^{T_r} V_k(t) \cos\left(\frac{2n\pi t}{T_r}\right) dt =$$

$$= \frac{2}{T_r} \int_{(k-1)T_r/N}^{kT_r/N} \cos\left(\frac{2n\pi t}{T_r}\right) dt =$$

$$= \frac{2}{n\pi} \sin\left(\frac{n\pi}{N}\right) \cos\left(\frac{n(2k-1)\pi}{N}\right),$$

$$b_{n,k} = \frac{2}{T_r} \int_0^{T_r} V_k(t) \sin\left(\frac{2n\pi t}{T_r}\right) dt =$$

$$= \frac{2}{T_r} \int_{(k-1)T_r/N}^{kT_r/N} \sin\left(\frac{2n\pi t}{T_r}\right) dt =$$

$$= \frac{2}{n\pi} \sin\left(\frac{n\pi}{N}\right) \sin\left(\frac{n(2k-1)\pi}{N}\right).$$

Функция $V_k(t)$ может быть представлена в более общем виде

$$V_k(t) = \sum_{n=-\infty}^{+\infty} \frac{1}{2} (a_{|n|,k} - j \text{sign}(n) b_{|n|,k}) \exp(jn\omega_r t).$$

Применив преобразование Фурье с учетом теоремы о частотном сдвиге, получим для тока (1)

$$I_k(j\omega) = \sum_{n=-\infty}^{+\infty} \frac{1}{2} (a_{|n|,k} - j \text{sign}(n) b_{|n|,k}) \times$$

$$\times I_{\text{BX1}}(j\omega - nj\omega_r) =$$

$$= \sum_{n=-\infty}^{+\infty} \frac{1}{2} (a_{|n|,k} + j \text{sign}(n) b_{|n|,k}) I_{\text{BX1}}(j\omega + nj\omega_r),$$

где $I_k(j\omega)$ – преобразование Фурье для $i_k(t)$; $I_{\text{BX1}}(j\omega)$ – преобразование Фурье для $i_{\text{BX1}}(t)$. Номер коэффициента n показывает во сколько раз по сравнению с $I_{\text{BX1}}(j\omega)$ частотный сдвиг для тока $I_{\text{BX1}}(j\omega + n\omega_r)$ больше, чем ω_r . Таким образом, преобразование Фурье для $i_k(t)$ является суммой преобразований Фурье для $i_{\text{BX1}}(t)$ с частотными сдвигами $n\omega_r$ и соответствующими весовыми коэффициентами.

1.2. Расчет выходного напряжения плеча $u_k(t)$

Преобразование Фурье $U_k(j\omega)$ напряжения k -го плеча $u_k(t)$ определяется выражением

$$U_k(j\omega) = Z_H(j\omega) I_k(j\omega). \quad (3)$$

Из (2) и (3) получим

$$U_k(j\omega) = Z_H(j\omega) \times$$

$$\times \sum_{n=-\infty}^{+\infty} \frac{1}{2} (a_{|n|,k} + j \text{sign}(n) b_{|n|,k}) I_{\text{BX1}}(j\omega + nj\omega_r). \quad (4)$$

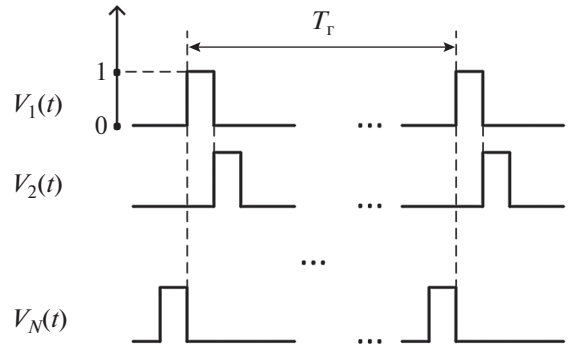


Рис. 2. Нормированная управляющая функция k -го ключа $V_k(t)$.

1.3. Расчет входного напряжения $U_{\text{BX}}(j\omega)$

В каждом периоде входной узел подключен только к одному плечу на отрезке времени $\tau = T_r/N$. Следовательно, входное напряжение определяется соотношением

$$u_{\text{BX}}(t) = R_T i_{\text{BX1}}(t) \sum_{k=1}^N V_k(t) + \sum_{k=1}^N u_k(t) V_k(t) =$$

$$= R_T i_{\text{BX1}}(t) + \sum_{k=1}^N u_k(t) V_k(t), \quad (5)$$

где R_T – внутреннее сопротивление ключа как транзистора в открытом состоянии. Применив преобразование Фурье для выражения (5), получим

$$U_{\text{BX}}(j\omega) = R_T I_{\text{BX1}}(j\omega) +$$

$$+ \sum_{k=1}^N \sum_{m=-\infty}^{+\infty} \frac{1}{2} (a_{|m|,k} + j \text{sign}(m) b_{|m|,k}) U_k(j\omega + mj\omega_r), \quad (6)$$

где $U_{\text{BX}}(j\omega)$ – преобразование Фурье для входного напряжения $u_{\text{BX}}(t)$. Номер коэффициента m показывает, во сколько раз по сравнению с $U_k(j\omega)$ частотный сдвиг для напряжения $U_k(j\omega + mj\omega_r)$ больше, чем ω_r . Из (4) и (6) следует

$$U_{\text{BX}}(j\omega) = R_T I_{\text{BX1}}(j\omega) +$$

$$+ \sum_{k=1}^N \sum_{m=-\infty}^{+\infty} \sum_{n=-\infty}^{+\infty} \frac{1}{4} (a_{|m|,k} + j \text{sign}(m) b_{|m|,k}) \times$$

$$\times (a_{|n|,k} + j \text{sign}(n) b_{|n|,k}) Z_H(j\omega + mj\omega_r) \times$$

$$\times I_{\text{BX1}}(j\omega + (n+m)j\omega_r). \quad (7)$$

Расчет преобразования Фурье для входного напряжения $u_{\text{BX}}(t)$ приведен в Приложении 1. Окончательная формула для $U_{\text{BX}}(j\omega)$ имеет вид

$$U_{\text{BX}}(j\omega) = R_T I_{\text{BX1}}(j\omega) + \sum_{p=-\infty}^{+\infty} I_{\text{BX1}}(j\omega + pNj\omega_r) \times$$

$$\times \sum_{m=-\infty}^{+\infty} N \exp(-jp\pi) A_m A_{pN-m} Z_H(j\omega + mj\omega_r), \quad (8)$$

где $A_m = (\text{sinc}(m\pi/N))/N$, p – целая часть отношения $p = [(m + n)/N]$.

1.4. Система уравнений для расчета тока $I_{\text{ex1}}(j\omega)$

Представим выражение для токов схемы следующим образом:

$$I_{\text{BX1}}(j\omega) + I_{\text{BX2}}(j\omega) = I_{\text{BX1}}(j\omega) + U_{\text{BX}}(j\omega)/Z_{\text{BX}}(j\omega) = I_{\text{BX}}(j\omega), \tag{9}$$

где $I_{\text{BX2}}(j\omega)$ – преобразование Фурье для тока $i_{\text{BX2}}(t)$. Далее, из выражений (8) и (9) получим

$$(Z_{\text{BX}}(j\omega) + R_{\Gamma}) I_{\text{BX1}}(j\omega) + \sum_{p=-\infty}^{+\infty} Q(p, \omega) I_{\text{BX1}}(j\omega + pNj\omega_{\Gamma}) = Z_{\text{BX}}(j\omega) I_{\text{BX}}(j\omega), \tag{10}$$

где $Q(p, \omega) = \sum_{m=-\infty}^{+\infty} N \exp(-jp\pi) A_{m,k} A_{pN-m,k} \times Z_{\text{H}}(j\omega + mj\omega_{\Gamma})$.

Если входной ток представлен как комплексный экспоненциальный сигнал $i_{\text{BX}}(t) = I_{\text{BX}} \exp(j\omega_{\text{BX}}t)$ с амплитудой I_{BX} и угловой частотой ω_{BX} , то ток $I_{\text{BX1}}(j\omega)$ описывается составляющими на частотах $\omega_{\text{BX}} + rN\omega_{\Gamma}$, где целое число r характеризует частотный сдвиг $rN\omega_{\Gamma}$ данных составляющих по сравнению с основной составляющей на угловой частоте ω_{BX} . При этом входной ток $I_{\text{BX}}(j\omega)$ не содержит гармоник, т.е. $I_{\text{BX}}(j\omega) = I_{\text{BX}}(j\omega_{\text{BX}})$ при $r = 0$. При остальных значениях r входной ток $I_{\text{BX}}(j\omega) = 0$. Таким образом, для каждой частоты $\omega = \omega_{\text{BX}} + rN\omega_{\Gamma}$ из (10) получим уравнение

$$(Z_{\text{BX}}(j\omega_{\text{BX}} + rNj\omega_{\Gamma}) + R_{\Gamma}) I_{\text{BX1}}(j\omega_{\text{BX}} + rNj\omega_{\Gamma}) + \sum_{p=-\infty}^{+\infty} Q(p, \omega_{\text{BX}} + rN\omega_{\Gamma}) I_{\text{BX1}}(j\omega_{\text{BX}} + (r + p)Nj\omega_{\Gamma}) = Z_{\text{BX}}(j\omega_{\text{BX}} + rNj\omega_{\Gamma}) I_{\text{BX}}(j\omega_{\text{BX}} + rNj\omega_{\Gamma}).$$

Тогда для всего множества значений r имеем систему уравнений матричного вида относительно комплексного сигнала входного тока:

$$\begin{pmatrix} \dots & \dots & \dots & \dots & \dots \\ \dots & Z_{\text{BX}}(j\omega_{\text{BX}} + Nj\omega_{\Gamma}) + R_{\Gamma} & 0 & 0 & \dots \\ \dots & 0 & Z_{\text{BX}}(j\omega_{\text{BX}}) + R_{\Gamma} & 0 & \dots \\ \dots & 0 & 0 & Z_{\text{BX}}(j\omega_{\text{BX}} - Nj\omega_{\Gamma}) + R_{\Gamma} & \dots \\ \dots & \dots & \dots & \dots & \dots \end{pmatrix} \begin{pmatrix} \dots \\ I_{\text{BX1}}(j\omega_{\text{BX}} + Nj\omega_{\Gamma}) \\ I_{\text{BX1}}(j\omega_{\text{BX}}) \\ I_{\text{BX1}}(j\omega_{\text{BX}} - Nj\omega_{\Gamma}) \\ \dots \end{pmatrix} + \begin{pmatrix} \dots & \dots & \dots & \dots & \dots \\ \dots & Q(0, \omega_{\text{BX}} + N\omega_{\Gamma}) & Q(-1, \omega_{\text{BX}} + N\omega_{\Gamma}) & Q(-2, \omega_{\text{BX}} + N\omega_{\Gamma}) & \dots \\ \dots & Q(1, \omega_{\text{BX}}) & Q(0, \omega_{\text{BX}}) & Q(-1, \omega_{\text{BX}}) & \dots \\ \dots & Q(2, \omega_{\text{BX}} - N\omega_{\Gamma}) & Q(1, \omega_{\text{BX}} - N\omega_{\Gamma}) & Q(0, \omega_{\text{BX}} - N\omega_{\Gamma}) & \dots \\ \dots & \dots & \dots & \dots & \dots \end{pmatrix} \begin{pmatrix} \dots \\ I_{\text{BX1}}(j\omega_{\text{BX}} + Nj\omega_{\Gamma}) \\ I_{\text{BX1}}(j\omega_{\text{BX}}) \\ I_{\text{BX1}}(j\omega_{\text{BX}} - Nj\omega_{\Gamma}) \\ \dots \end{pmatrix} = \begin{pmatrix} \dots \\ 0 \\ Z_{\text{BX}}(j\omega_{\text{BX}}) I_{\text{BX}}(j\omega_{\text{BX}}) \\ 0 \\ \dots \end{pmatrix}. \tag{11}$$

Чтобы найти комбинационные гармоники $I_{\text{BX1}}(j\omega_{\text{BX}} + rNj\omega_{\Gamma})$, необходимо решить систему уравнений (11). Решение системы уравнений (11) приведено в Приложении 2:

$$I_{\text{BX1}} = \frac{I_{\text{BX}}(j\omega_{\text{BX}}) Z_{\text{BX}}(j\omega_{\text{BX}})}{Z(j\omega_{\text{BX}})} \begin{pmatrix} \dots \\ -c/(b(b + N)(1 + g)Z(j\omega_{\text{BX}} + Nj\omega_{\Gamma})) \\ 1 - c/((1 + g)b^2Z(j\omega_{\text{BX}})) \\ -c/(b(b - N)(1 + g)Z(j\omega_{\text{BX}} - Nj\omega_{\Gamma})) \\ \dots \end{pmatrix},$$

где

$$Z(j\omega) = R_r + Z_{\text{BX}}(j\omega) + Z_{\text{H}}(j\omega); Z_{\text{H}}(j\omega) = R_{\text{H}}/(1 + j\omega R_{\text{H}}C_{\text{H}}); b = (j\omega_{\text{BX}}R_{\text{H}}C_{\text{H}} + 1)/(j\omega_{\text{r}}R_{\text{H}}C_{\text{H}});$$

$$c = (jN \sin(b(\pi - \pi/N)) \sin(b\pi/N))/(\pi\omega_{\text{r}}C_{\text{H}} \sin(b\pi));$$

$$g = \sum_{l=-\infty}^{+\infty} c / ((b + lN)^2 Z(j\omega_{\text{BX}} + lNj\omega_{\text{r}})).$$

Ток $I_{\text{BX1}}(j\omega)$ включает составляющие на частотах $\omega_{\text{BX}}, \omega_{\text{BX}} \pm N\omega_{\text{r}}, \omega_{\text{BX}} \pm 2N\omega_{\text{r}}$ и т.д. В процессе преобразования необходимо выделить основную составляющую $I_{\text{BX1}}(j\omega_{\text{BX}})$ и подавить комбинационные гармоники $I_{\text{BX1}}(j\omega_{\text{BX}} + rNj\omega_{\text{r}})$. Чем больше N , тем дальше от основной составляющей расположены комбинационные гармоники $I_{\text{BX1}}(j\omega_{\text{BX}} + rNj\omega_{\text{r}})$. При $N=4$ комбинационные гармоники находятся на частотах $\omega_{\text{BX}} \pm 4\omega_{\text{r}}, \omega_{\text{BX}} \pm 8\omega_{\text{r}}$ и т.д. При $N=8$ комбинационные гармоники находятся на частотах $\omega_{\text{BX}} \pm 8\omega_{\text{r}}, \omega_{\text{BX}} \pm 16\omega_{\text{r}}$ и т.д. В зависимости от диапазона частот выбираемое значение N должно обеспечивать компромисс между сложностью цепи компенсации гармоник и схемы гетеродина.

1.5. Расчет передаточного импеданса одного плеча

Из формулы (4) имеем составляющую выходного напряжения на одном плече (например, первом при $k=1$) на промежуточной частоте $\omega_{\text{пч}} = \omega_{\text{BX}} - \omega_{\text{r}}$:

$$U_1(j\omega_{\text{BX}} - j\omega_{\text{r}}) = Z_{\text{H}}(j\omega_{\text{BX}} - j\omega_{\text{r}}) \times$$

$$\times \sum_{m=-\infty}^{+\infty} \frac{1}{2} (a_{|m|,1} + j \text{sign}(m) b_{|m|,1}) \times$$

$$\times I_{\text{BX1}}(j\omega_{\text{BX}} + (m-1)j\omega_{\text{r}}).$$

Так как ток $I_{\text{BX1}}(j\omega)$ определяется составляющими только на частотах $\omega_{\text{BX}} + rN\omega_{\text{r}}$, то:

$$U_1(j\omega_{\text{BX}} - j\omega_{\text{r}}) = Z_{\text{H}}(j\omega_{\text{BX}} - j\omega_{\text{r}}) \times$$

$$\times \sum_{r=-\infty}^{+\infty} \frac{\sin(\pi/N) \exp(j\pi/N)}{(rN+1)\pi} I_{\text{BX1}}(j\omega_{\text{BX}} + rNj\omega_{\text{r}}).$$

Тогда имеем

$$U_1(j\omega_{\text{BX}} - j\omega_{\text{r}}) = I_{\text{BX}}(j\omega_{\text{BX}}) \times$$

$$\times \frac{Z_{\text{BX}}(j\omega_{\text{BX}}) Z_{\text{H}}(j\omega_{\text{BX}} - j\omega_{\text{r}}) \sin(\pi/N) \exp(j\pi/N)}{\pi Z(j\omega_{\text{BX}})} \times$$

$$\times \left(1 - \frac{c}{b(1+g)} \sum_{r=-\infty}^{+\infty} \frac{1}{(rN+1)(rN+b)Z(j\omega_{\text{BX}} + rNj\omega_{\text{r}})} \right).$$

Таким образом, передаточный импеданс одного плеча (первого) переключаемой части пассивного смесителя с управлением по току определяется по формуле

$$Z_1 = \frac{U_1(j\omega_{\text{BX}} - j\omega_{\text{r}})}{I_{\text{BX}}(j\omega_{\text{BX}})} = \frac{Z_{\text{BX}}(j\omega_{\text{BX}}) Z_{\text{H}}(j\omega_{\text{BX}} - j\omega_{\text{r}}) \sin(\pi/N) \exp(j\pi/N)}{\pi Z(j\omega_{\text{BX}})} \times$$

$$\times \left(1 - \frac{c}{b(1+g)} \sum_{r=-\infty}^{+\infty} \frac{1}{(rN+1)(rN+b)Z(j\omega_{\text{BX}} + rNj\omega_{\text{r}})} \right). \quad (12)$$

2. КОМПЕНСАЦИЯ ГАРМОНИК

Напряжение $U_k(j\omega)$ состоит из составляющих на частотах $\omega_{\text{BX}} + q\omega_{\text{r}}$, где q – номер гармоники частоты гетеродина. Тогда, согласно (4) имеем

$$U_k(j\omega_{\text{BX}} + jq\omega_{\text{r}}) = Z_{\text{H}}(j\omega_{\text{BX}} + jq\omega_{\text{r}}) \times$$

$$\times \sum_{m=-\infty}^{+\infty} \frac{1}{2} (a_{|m|,k} + j \text{sign}(m) b_{|m|,k}) \times$$

$$\times I_{\text{BX1}}(j\omega_{\text{BX}} + jq\omega_{\text{r}} + mj\omega_{\text{r}}) =$$

$$= Z_{\text{H}}(j\omega_{\text{BX}} + jq\omega_{\text{r}}) \times$$

$$\times \sum_{m=-\infty}^{+\infty} A_m \exp(j\varphi_{m,k}) I_{\text{BX1}}(j\omega_{\text{BX}} + (q+m)j\omega_{\text{r}}),$$

где $\varphi_{m,k} = m(2k-1)\pi/N$. Однако ток I_{BX1} состоит из гармоник на частотах $\omega_{\text{BX}} + rN\omega_{\text{r}}$, поэтому $q+m=rN$ и, следовательно,

$$U_k(j\omega_{\text{BX}} + jq\omega_{\text{r}}) = Z_{\text{H}}(j\omega_{\text{BX}} + jq\omega_{\text{r}}) \times$$

$$\times \sum_{r=-\infty}^{+\infty} A_{rN-q} \exp(j\varphi_{rN-q,k}) I_{\text{BX1}}(j\omega_{\text{BX}} + rNj\omega_{\text{r}}).$$

Далее выразим напряжение плеча с номером $k+d$ через напряжение k -го плеча:

$$U_{k+d}(j\omega_{\text{BX}} + jq\omega_{\text{r}}) = Z_{\text{H}}(j\omega_{\text{BX}} + jq\omega_{\text{r}}) \times$$

$$\times \sum_{r=-\infty}^{+\infty} A_{rN-q} \exp(j\varphi_{rN-q,k+d}) I_{\text{BX1}}(j\omega_{\text{BX}} + rNj\omega_{\text{r}}) =$$

$$= \exp(-j2\pi dq/N) U_k(j\omega_{\text{BX}} + jq\omega_{\text{r}}).$$

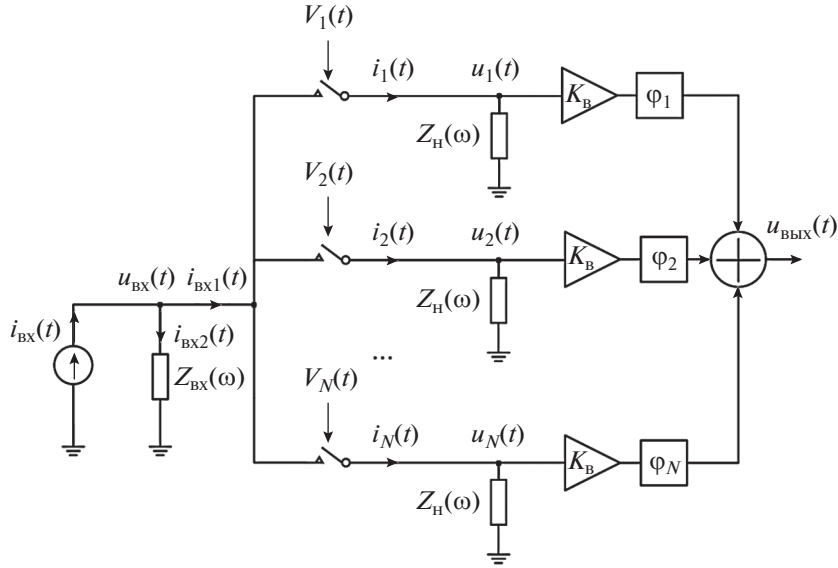


Рис. 3. Схема смеситель частот с цепью компенсации (суммирования) гармоник.

Это значит, что напряжение $U_{k+d}(j\omega_{\text{вх}} + jq\omega_r)$ равно напряжению $U_k(j\omega_{\text{вх}} + jq\omega_r)$ по величине, но со сдвигом фазы $-2\pi dq/N$. Тогда получим

$$U_k(j\omega_{\text{вх}} + jq\omega_r) = \exp(-j2\pi q(k-1)/N) U_1(j\omega_{\text{вх}} + jq\omega_r). \quad (13)$$

Для подавления комбинационных гармоник на выходе используется цепь компенсации гармоник на основе сумматора и фазовращателей (рис. 3). На сумматор выходное напряжение в k -ом плече добавляется с весовым коэффициентом K_B и с фазой $\varphi_k = \varphi_0 - 2\pi k/N$, где φ_0 – начальный сдвиг фазы. Тогда, на сумматор поступают сигналы вида

$$U_k(j\omega_{\text{вх}} + jq\omega_r) K_B \exp(j(\varphi_0 - 2\pi k/N)) = \exp(-j2\pi(kq + k - q)/N) \times U_1(j\omega_{\text{вх}} + jq\omega_r) K_B \exp(j\varphi_0).$$

Эти напряжения суммируются. При этом выходное напряжение после суммирования определяется выражением:

$$U_{\text{ВЫХ}}(j\omega_{\text{вх}} + jq\omega_r) = \sum_{k=1}^N \exp(-j2\pi(kq + k - q)/N) \times U_1(j\omega_{\text{вх}} + jq\omega_r) K_B \exp(j\varphi_0) = U_1(j\omega_{\text{вх}} + jq\omega_r) K_B \exp(j\varphi_0) \times \exp(j2\pi q/N) \sum_{k=1}^N (\exp(-j2\pi(q+1)/N))^k.$$

Выделим далее два случая. Если $q = rN - 1$, то

$$U_{\text{ВЫХ}}(j\omega_{\text{вх}} - j\omega_r + rNj\omega_r) = NU_1(j\omega_{\text{вх}} - j\omega_r + rNj\omega_r) \times K_B \exp(j\varphi_0) \exp(-j2\pi/N).$$

Если $q \neq rN - 1$, то

$$\sum_{k=1}^N (\exp(-j2\pi(q+1)/N))^k = \frac{\exp(-j2\pi(q+1)(N+1)/N) - \exp(-j2\pi(q+1)/N)}{\exp(-j2\pi(q+1)/N) - 1} = 0,$$

поскольку для всех $x \neq 1$: $x + x^2 + \dots + x^N = (x^{N+1} - x)/(x - 1)$. Таким образом,

$$U_{\text{ВЫХ}}(j\omega_{\text{пч}} + rNj\omega_r) = NK_B \exp(j(\varphi_0 - 2\pi/N)) U_1(j\omega_{\text{пч}} + rNj\omega_r). \quad (14)$$

Ток $I_{\text{вх1}}$ состоит из гармоник на частотах $\omega_{\text{вх}} + rN\omega_r$. При этом из (14) следует, что выходное напряжение после суммирования состоит из гармоник на

частотах $\omega_{\text{пч}} + rN\omega_r$ и их амплитуды увеличиваются в NK_B раз. Тогда передаточный импеданс одного плеча, рассчитанный в (12), также увеличивается в NK_B раз. Кроме того, остальные комбинационные гармоники на выходе полностью компенсируются в случае полного равенства параметров плеч смесителя. При этом передаточный импеданс пассивного смесителя с управлением по току будет иметь вид

$$Z_{\text{см}} = \frac{U_{\text{вых}}(j\omega_{\text{вх}} - j\omega_{\text{г}})}{I_{\text{вх}}(j\omega_{\text{вх}})} = NK_{\text{в}} \frac{Z_{\text{вх}}(j\omega_{\text{вх}})Z_{\text{н}}(j\omega_{\text{вх}} - j\omega_{\text{г}})\sin(\pi/N)\exp(j(\varphi_0 - \pi/N))}{\pi Z(j\omega_{\text{вх}})} \times \left(1 - \frac{c}{b(1+g)} \sum_{r=-\infty}^{+\infty} \frac{1}{(rN+1)(rN+b)Z(j\omega_{\text{вх}} + rNj\omega_{\text{г}})}\right). \quad (15)$$

Таким образом, передаточный импеданс увеличивается в $NK_{\text{в}}$ раз по сравнению с передаточным импедансом одного плеча.

Как пример, рассмотрим случай $N = 4$. Обобщенная схема для данного случая представлена на рис. 4. Для сдвига фазы $\pi/2$ при $\omega_{\text{вх}} > \omega_{\text{г}}$ используются RC -цепи, как показано на рис. 5. При $\omega_{\text{вх}} < \omega_{\text{г}}$, RC -цепи следует поменять местами. Значения R_1 и C_1 выбираются так, чтобы $R_1 = 1/(\omega_{\text{пч}}C_1)$. Сдвиги фаз в плечах схемы на рис. 5 на промежуточной частоте $\omega_{\text{пч}}$ составляют: $\pi/4$ (плечо 1), $-\pi/4$ (плечо 2), $-3\pi/4$ (плечо 3), $-5\pi/4$ (плечо 4). Схема на рис. 5 соответствует схеме на рис. 4 с $\varphi_0 = 3\pi/4$. Напряжения в узлах A, B, C, D равны соответственно:

$$U_A(j\omega) = U_1(j\omega) - U_3(j\omega),$$

$$U_B(j\omega) = U_2(j\omega) - U_4(j\omega),$$

$$U_C(j\omega) = \frac{R_1 U_A(j\omega)}{R_1 + 1/(j\omega C_1)} = \frac{R_1(U_1(j\omega) - U_3(j\omega))}{\sqrt{R_1^2 + 1/(\omega C_1)^2}} \exp(j \arctg(1/(\omega R_1 C_1))),$$

$$U_D(j\omega) = \frac{U_B(j\omega)/(j\omega C_1)}{R_1 + 1/(j\omega C_1)} = \frac{(U_2(j\omega) - U_4(j\omega))/(\omega C_1)}{\sqrt{R_1^2 + 1/(\omega C_1)^2}} \times \exp(j(\arctg(1/(\omega R_1 C_1)) - \pi/2)),$$

где $-\pi/2 \leq \arctg(1/(\omega R_1 C_1)) \leq \pi/2$. Вместе с тем согласно (13) имеем

$$U_2(j\omega_{\text{вх}} + jq\omega_{\text{г}}) = \exp(-jq\pi/2)U_1(j\omega_{\text{вх}} + jq\omega_{\text{г}}),$$

$$U_3(j\omega_{\text{вх}} + jq\omega_{\text{г}}) = \exp(-jq\pi)U_1(j\omega_{\text{вх}} + jq\omega_{\text{г}}),$$

$$U_4(j\omega_{\text{вх}} + jq\omega_{\text{г}}) = \exp(-j3q\pi/2)U_1(j\omega_{\text{вх}} + jq\omega_{\text{г}}).$$

Тогда получаем

$$U_C(j\omega_{\text{вх}} + jq\omega_{\text{г}}) = \frac{R_1(1 - \exp(-jq\pi))\exp(j \arctg(1/((\omega_{\text{вх}} + q\omega_{\text{г}})R_1 C_1)))}{\sqrt{R_1^2 + 1/((\omega_{\text{вх}} + q\omega_{\text{г}})C_1)^2}} U_1(j\omega_{\text{вх}} + jq\omega_{\text{г}}),$$

$$U_D(j\omega_{\text{вх}} + jq\omega_{\text{г}}) = \frac{\exp(j \arctg(1/((\omega_{\text{вх}} + q\omega_{\text{г}})R_1 C_1))) (\exp(-j(q+1)\pi/2) - \exp(-j(3q+1)\pi/2))}{((\omega_{\text{вх}} + q\omega_{\text{г}})C_1)\sqrt{R_1^2 + 1/((\omega_{\text{вх}} + q\omega_{\text{г}})C_1)^2}} U_1(j\omega_{\text{вх}} + jq\omega_{\text{г}}).$$

Выходное напряжение на частотах $\omega_{\text{вх}} + q\omega_{\text{г}}$ рассчитано по формуле

$$U_{\text{вых,RC}}(j\omega_{\text{вх}} + jq\omega_{\text{г}}) = U_C(j\omega_{\text{вх}} + jq\omega_{\text{г}}) + U_D(j\omega_{\text{вх}} + jq\omega_{\text{г}}) = \frac{U_1(j\omega_{\text{вх}} + jq\omega_{\text{г}})R_1(1 - \exp(-jq\pi))\exp(j \arctg(1/((\omega_{\text{вх}} + q\omega_{\text{г}})R_1 C_1)))}{\sqrt{R_1^2 + 1/((\omega_{\text{вх}} + q\omega_{\text{г}})C_1)^2}} \left(1 + \frac{\exp(-j(q+1)\pi/2)}{(\omega_{\text{вх}} + q\omega_{\text{г}})R_1 C_1}\right).$$

Если q – четное число, то $U_{\text{вых,RC}}(j\omega_{\text{вх}} + jq\omega_{\text{г}}) = 0$. Если q – нечетное число, то

$$U_{\text{вых,RC}}(j\omega_{\text{вх}} + jq\omega_{\text{г}}) = \frac{2U_1(j\omega_{\text{вх}} + jq\omega_{\text{г}})R_1 \exp(j \arctg(1/((\omega_{\text{вх}} + q\omega_{\text{г}})R_1 C_1)))}{\sqrt{R_1^2 + 1/((\omega_{\text{вх}} + q\omega_{\text{г}})C_1)^2}} \left(1 + \frac{\exp(-j(q+1)\pi/2)}{(\omega_{\text{вх}} + q\omega_{\text{г}})R_1 C_1}\right).$$

Поскольку выбраны значения R_1 и C_1 так, чтобы $R_1 = 1/(\omega_{\text{пч}}C_1)$, то получим

$$U_{\text{вых,RC}}(j\omega_{\text{пч}}) = 2\sqrt{2}U_1(j\omega_{\text{пч}})\exp(j\pi/4).$$

Весовой коэффициент $K_{\text{в}} = 1/\sqrt{2}$. Таким образом, передаточный импеданс увеличивается в $2\sqrt{2}$ раз

по сравнению с передаточным импедансом одного плеча.

3. РЕЗУЛЬТАТ МОДЕЛИРОВАНИЯ

При моделировании схемы пассивного смесителя с управлением по току (согласно рис. 5) зада-

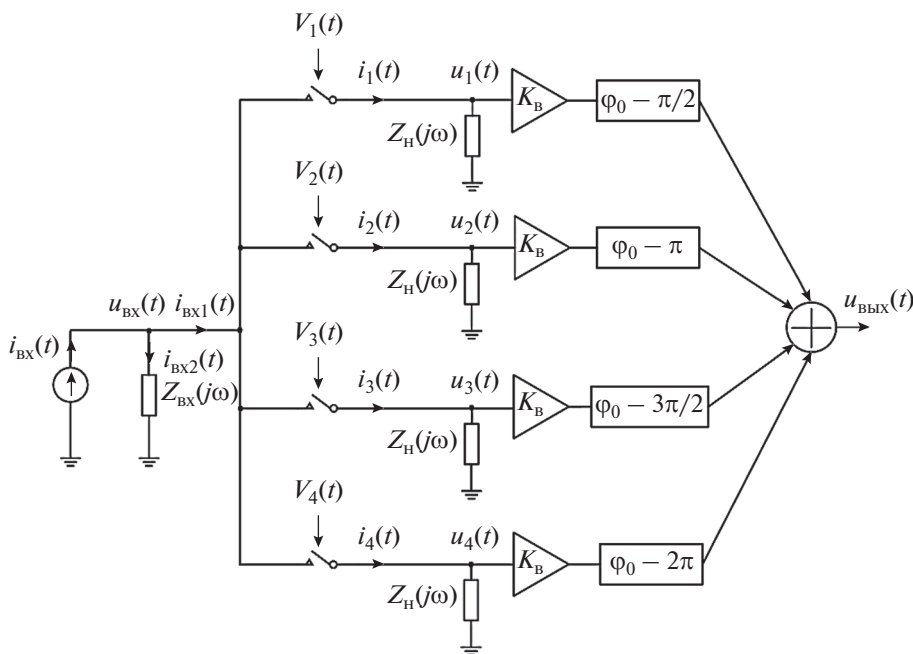


Рис. 4. Обобщенная схема смесителя частоты при $N = 4$.

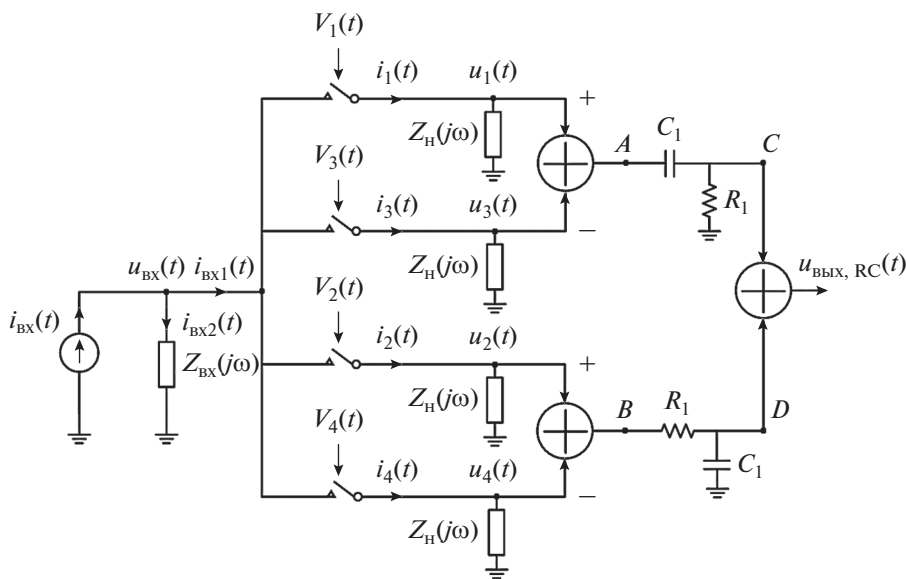


Рис. 5. Схема смеситель частот с RC -цепью комбинации гармоник при $N = 4$.

ются следующие параметры: амплитуда входного тока $i_{\text{BX}}(t)$ 10 мА; каждое плечо является параллельной RC -цепью $R_{\text{H}} = 1$ кОм, $C_{\text{H}} = 10$ пФ; входной импеданс также является параллельной RC -цепью $R_{\text{BX}} = 5$ кОм, $C_{\text{BX}} = 10$ пФ; сопротивление ключа в открытом состоянии $R_{\text{r}} = 100$ Ом; число плеч $N = 4$. Зависимость модуля передаточного импеданса Z_{CM} от входной частоты f_{BX} при неизменной промежуточной частоте $f_{\text{пч}} = 100$ МГц представлена на

рис. 6. Зависимость модуля передаточного импеданса Z_{CM} от промежуточной частоты $f_{\text{пч}}$ при неизменной частоте гетеродина $f_{\text{r}} = 2$ ГГц показана на рис. 7. Результаты расчета и моделирования выходного напряжения $U_{\text{ВЫХ, RC}}$ и комбинационных гармоник на выходе схемы компенсации при входной частоте f_{BX} и частоте гетеродина f_{r} , представлены в табл. 1. Сохранены приведенные параметры схемы. Значения R_1 и C_1 выбираются так, чтобы $R_1 =$

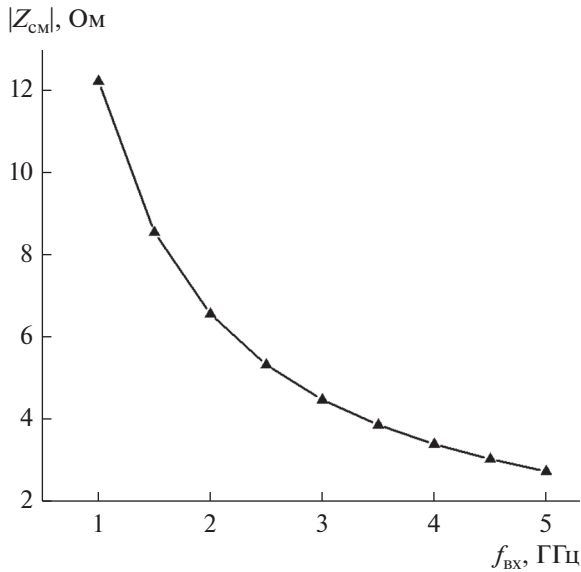


Рис. 6. Зависимость модуля передаточного импеданса Z_{CM} от входной частоты f_{BX} при неизменной промежуточной частоте $f_{ПЧ} = 100$ МГц.

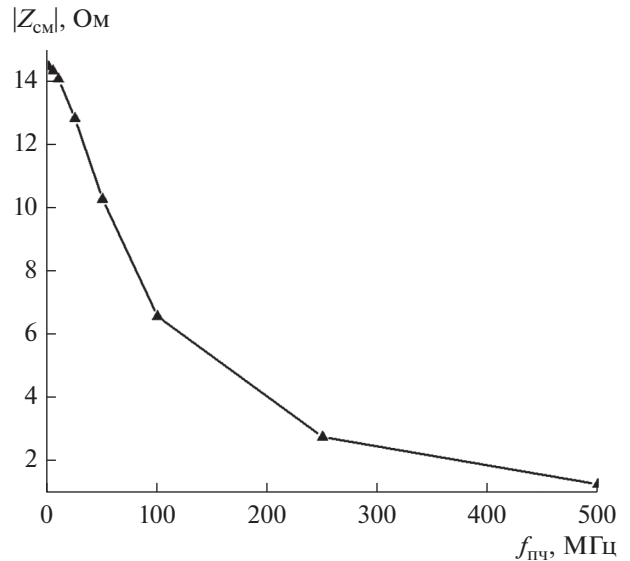


Рис. 7. Зависимость модуля передаточного импеданса Z_{CM} от промежуточной частоты $f_{ПЧ}$ при неизменной частоте гетеродина $f_Г = 2$ ГГц.

$= 1/(\omega_{ПЧ} C_1)$. В данном случае $R_1 = 1$ кОм, $C_1 = 1.59$ пФ. Результаты расчета и моделирования совпадают с высокой точностью (ошибка составляет менее 0.5%). Выходное напряжение $U_{ВЫХ,RC}$ в $2\sqrt{2}$ раз больше, чем напряжение U_1 . Комбинационные гармоники напряжения $U_{ВЫХ,RC}$ на частотах $\omega_{ВХ} + q\omega_Г$ (q – четное целое число) полностью компенсируются. Однако иные комбинационные гармоники напряжения $U_{ВЫХ,RC}$ больше, чем соответствующие комбинационные гармоники напряжения U_1 .

ЗАКЛЮЧЕНИЕ

В работе представлены результаты анализа схемы пассивного смесителя с управлением по току. Выведено выражение (15) для передаточного импеданса схемы Z_{CM} . В отличие от известных работ, результаты справедливы при любой промежуточной частоте, включая нулевую, которая применяется в гомодинных приемниках [14] (в этом случае в выражении (15) $\omega_{ВХ} = \omega_Г$) и учитывают комплексный характер входного импеданса

Таблица 1. Результат расчета и моделирования выходного напряжения $U_{ВЫХ,RC}$ и комбинационных гармоник на выходе схемы компенсации

Гармоника, ГГц	U_1 , мВ		$U_{ВЫХ,RC}$, мВ	
	расчет	моделирование	расчет	моделирование
$f_{ПЧ} = 0.1$	23.2126	23.2120	65.6554	65.6530
$ f_{ПЧ} - f_Г = 1.9$	0.866331	0.866292	0	0
$ f_{ПЧ} + f_Г = 2.1$	1.2591	1.2590	0	0
$ f_{ПЧ} - 2f_Г = 3.9$	0.201932	0.201954	0.414130	0.414156
$ f_{ПЧ} + 2f_Г = 4.1$	0.589581	0.589554	1.150000	1.150080
$ f_{ПЧ} - 3f_Г = 5.9$	0.041485	0.041488	0	0
$ f_{ПЧ} + 3f_Г = 6.1$	0.286854	0.286870	0	0
$ f_{ПЧ} - 4f_Г = 7.9$	0.065105	0.065102	0.128532	0.128544
$ f_{ПЧ} + 4f_Г = 8.1$	0.107968	0.107945	0.218558	0.218539

источника тока $Z_{\text{вх}}(j\omega)$ и выходного импеданса нагрузки $Z_{\text{н}}(j\omega)$. Представленные соотношения позволяют определять выходной сигнал на промежуточной частоте с учетом гармоник частоты гетеродина. Моделирование схемы смесителя в среде Micro-Cap подтвердило справедливость полученных результатов. Ошибка в расчетах по сравнению с моделированием составляет до 0.5%, если учитывать не более пяти гармоник, и менее 0.2%, если учитывать не менее десяти гармоник.

ПРИЛОЖЕНИЕ 1

Расчет $U_{\text{вх}}(j\omega)$

Из выражений для коэффициентов $a_{m,k}$, $b_{m,k}$ имеем

$$a_{|m|,k} + j\text{sign}(m)b_{|m|,k} = \frac{2}{m\pi} \sin\left(\frac{m\pi}{N}\right) \times \exp(jm(2k-1)\pi/N), \quad m \neq 0,$$

$$a_{|m|,k} + j\text{sign}(m)b_{|m|,k} = \frac{2}{N}, \quad m = 0.$$

Таким образом,

$$a_{|m|,k} + j\text{sign}(m)b_{|m|,k} = 2A_m \exp(j\varphi_{m,k}), \quad (\text{П.1})$$

где $A_m = (\text{sinc}(m\pi/N))/N$, $\varphi_{m,k} = m(2k-1)\pi/N$. Из формул (7) и (П.1) следует, что

$$U_{\text{вх}}(j\omega) = R_{\text{Г}} I_{\text{вх1}}(j\omega) + \sum_{k=1}^N \sum_{m=-\infty}^{+\infty} \sum_{n=-\infty}^{+\infty} A_m A_n \exp(j(m+n)(2k-1)\pi/N) \times Z_{\text{н}}(j\omega + mj\omega_{\text{Г}}) I_{\text{вх1}}(j\omega + (n+m)j\omega_{\text{Г}}) = R_{\text{Г}} I_{\text{вх1}}(j\omega) + \sum_{m=-\infty}^{+\infty} \sum_{n=-\infty}^{+\infty} \left(A_m A_n Z_{\text{н}}(j\omega + mj\omega_{\text{Г}}) \times I_{\text{вх1}}(j\omega + (n+m)j\omega_{\text{Г}}) \times \sum_{k=1}^N \exp(j(m+n)(2k-1)\pi/N) \right).$$

Если сумма $m+n$ не кратна N (т.е. $m+n \neq pN$), то получаем

$$\sum_{k=1}^N \exp(j(m+n)(2k-1)\pi/N) = 0.$$

Если сумма $m+n$ кратна N (т.е. $m+n = pN$), то –

$$\sum_{k=1}^N \exp(j(m+n)(2k-1)\pi/N) = N \exp(-jp\pi).$$

Поэтому окончательно получим

$$U_{\text{вх}}(j\omega) = R_{\text{Г}} I_{\text{вх1}}(j\omega) + \sum_{p=-\infty}^{+\infty} I_{\text{вх1}}(j\omega + pNj\omega_{\text{Г}}) N \exp(-jp\pi) \times \sum_{m=-\infty}^{+\infty} A_m A_{pN-m} Z_{\text{н}}(j\omega + mj\omega_{\text{Г}}).$$

Решение системы уравнений (11)

П.2.1. Расчет $Q(p, \omega)$

Предполагаем, что нагрузка $Z_{\text{н}}$ является параллельной RC -цепью (резистор $R_{\text{н}}$ и конденсатор $C_{\text{н}}$ соединены параллельно). Представим выражение для $Q(p, \omega)$:

$$Q(p, \omega) = N \exp(-jp\pi) \times \sum_{m=-\infty}^{+\infty} A_m A_{pN-m} Z_{\text{н}}(j\omega + mj\omega_{\text{Г}}).$$

Выразим сумму в функции $Q(p, \omega)$ с помощью дискретной свертки вида:

$$y[h] = \sum_{m=-\infty}^{+\infty} A_m A_{h-m} Z_{\text{н}}(j\omega + mj\omega_{\text{Г}}) = \sum_{m=-\infty}^{+\infty} A_{h-m} (A_m Z_{\text{н}}(j\omega + mj\omega_{\text{Г}})).$$

Функция $y[h]$ является дискретной сверткой от $x_1[h]$ и $x_2[h]$, где h – целое число:

$$y[h] = \sum_{m=-\infty}^{+\infty} x_1[h-m] x_2[m] = x_1[h] * x_2[h],$$

где $x_1[h] = A_h$, $x_2[h] = A_h Z_{\text{н}}(j\omega + hj\omega_{\text{Г}})$. Вычислим полученную сумму с помощью следующего алгоритма: осуществим прямое дискретное преобразование Фурье для функций $x_1[h]$ и $x_2[h]$ в частотную область $\omega_{\text{д}}$ (отметим, что переменная $\omega_{\text{д}}$ является параметром преобразования и не равна переменной ω в выражении для $x_2[h]$); далее, перемножив полученный результат $X_1(\omega_{\text{д}})X_2(\omega_{\text{д}})$, где $X_1(\omega_{\text{д}})$ – дискретное преобразование Фурье для $x_1[h]$, $X_2(\omega_{\text{д}})$ – дискретное преобразование Фурье для $x_2[h]$, определим свертку в частотной области как $Y(\omega_{\text{д}}) = X_1(\omega_{\text{д}})X_2(\omega_{\text{д}})$; на последнем этапе осуществим обратное дискретное преобразование Фурье для функции $Y(\omega_{\text{д}})$ и, следовательно, получим выражение для просуммированного значения $y[h]$. Окончательно определим

$$y[h] = \frac{1}{2\pi} \int_{-\pi}^{\pi} Y(\omega_{\text{д}}) \exp(jh\omega_{\text{д}}) d\omega_{\text{д}} = \frac{j \sin(a(\pi - \pi/N)) \sin((a-h)\pi/N)}{a\pi(h-a)\omega_{\text{Г}} C_{\text{н}} \sin(a\pi)} + \frac{jA_h}{a\omega_{\text{Г}} C_{\text{н}}},$$

где $a = -(1 + j\omega R_{\text{н}} C_{\text{н}})/(j\omega_{\text{Г}} R_{\text{н}} C_{\text{н}})$. Таким образом, получим

$$Q(p, \omega) = N \exp(-jp\pi) y[pN] = N \exp(-jp\pi) \times \frac{j \sin(a(\pi - \pi/N)) \sin((a-pN)\pi/N)}{a\pi(pN-a)\omega_{\text{Г}} C_{\text{н}} \sin(a\pi)} + \frac{jA_{pN} N}{a\omega_{\text{Г}} C_{\text{н}}}.$$

Выделим комбинационные частоты $\omega = \omega_{\text{BX}} + rN\omega_r$:

$$Q(p, \omega_{\text{BX}} + rN\omega_r) = \frac{c}{(b+rN)(b+rN+pN)} - \frac{jA_{pN}N}{(b+rN)\omega_r C_H},$$

где

$$b = (1 + j\omega_{\text{BX}}R_H C_H)/(j\omega_r R_H C_H);$$

$$c = (jN \sin(b(\pi - \pi/N)) \sin(b\pi/N))/(\pi\omega_r C_H \sin(b\pi)).$$

П.2.2. Решение системы уравнений

$$(\mathbf{D} + \mathbf{F} + \mathbf{E})\mathbf{I}_{\text{BX1}} = \frac{Z_{\text{BX}}(j\omega_{\text{BX}})}{R_r + Z_{\text{BX}}(j\omega_{\text{BX}})}\mathbf{I}_{\text{BX}} \quad (\text{П.2})$$

Из результата расчета $Q(p, \omega)$ имеем следующую эквивалентную систему уравнений:

где

$$\mathbf{I}_{\text{BX1}} = \begin{pmatrix} \dots \\ I_{\text{BX1}}(j\omega_{\text{BX}} + Nj\omega_r) \\ I_{\text{BX1}}(j\omega_{\text{BX}}) \\ I_{\text{BX1}}(j\omega_{\text{BX}} - Nj\omega_r) \\ \dots \end{pmatrix}, \quad \mathbf{I}_{\text{BX}} = \begin{pmatrix} \dots \\ I_{\text{BX}}(j\omega_{\text{BX}} + Nj\omega_r) \\ I_{\text{BX}}(j\omega_{\text{BX}}) \\ I_{\text{BX}}(j\omega_{\text{BX}} - Nj\omega_r) \\ \dots \end{pmatrix} = \begin{pmatrix} \dots \\ 0 \\ I_{\text{BX}}(j\omega_{\text{BX}}) \\ 0 \\ \dots \end{pmatrix}, \quad \mathbf{D} = \mathbf{D}_1 \mathbf{D}_2 \mathbf{D}_2^T,$$

$$\mathbf{D}_1 = \begin{pmatrix} \dots & \dots & \dots & \dots & \dots \\ \dots & c/(Z_{\text{BX}}(j\omega_{\text{BX}} + Nj\omega_r) + R_r) & 0 & 0 & \dots \\ \dots & 0 & c/(Z_{\text{BX}}(j\omega_{\text{BX}}) + R_r) & 0 & \dots \\ \dots & 0 & 0 & c/(Z_{\text{BX}}(j\omega_{\text{BX}} - Nj\omega_r) + R_r) & \dots \\ \dots & \dots & \dots & \dots & \dots \end{pmatrix},$$

$$\mathbf{D}_2 = \begin{pmatrix} \dots \\ 1/(b+N) \\ 1/b \\ 1/(b-N) \\ \dots \end{pmatrix}, \quad \mathbf{F} = \frac{1}{j\omega_r C_H} \begin{pmatrix} \dots & \dots & \dots & \dots & \dots \\ \dots & 1/F_1(1) & 0 & 0 & \dots \\ \dots & 0 & 1/F_1(0) & 0 & \dots \\ \dots & 0 & 0 & 1/F_1(-1) & \dots \\ \dots & \dots & \dots & \dots & \dots \end{pmatrix},$$

$$F_1(s) = (b + sN)(Z_{\text{BX}}(j\omega_{\text{BX}} + sNj\omega_r) + R_r),$$

\mathbf{E} – единичная матрица.

Для решения системы (П.2) необходимо найти обратную матрицу $(\mathbf{D} + \mathbf{E} + \mathbf{F})^{-1}$. Воспользуемся теоремой, которая приведена в [15]: пусть задана матрица вида $(\mathbf{D} + \mathbf{H})$. Тогда, если $\text{rank}(\mathbf{D}) = 1$, то

$$(\mathbf{D} + \mathbf{H})^{-1} = \mathbf{H}^{-1} - (\mathbf{H}^{-1}\mathbf{D}\mathbf{H}^{-1})/(1 + g),$$

где $g = \text{tr}(\mathbf{D}\mathbf{H}^{-1})$ – сумма элементов диагонали матрицы $\mathbf{D}\mathbf{H}^{-1}$. Матрица \mathbf{D} является произведением трех матриц, \mathbf{D}_1 , \mathbf{D}_2 и \mathbf{D}_2^T . Поскольку rank произведения матриц не превосходит наименьший rank каждого из сомножителей, а $\text{rank}(\mathbf{D}_2) = \text{rank}(\mathbf{D}_2^T) = 1$, то $\text{rank}(\mathbf{D}) = 1$. Таким образом, условие теоремы выполнено.

В данной работе матрица $\mathbf{H} = \mathbf{F} + \mathbf{E}$. Поскольку \mathbf{H} является диагональной матрицей, легко найти \mathbf{H}^{-1} . Тогда, решение системы уравнений (П.2) будет иметь вид

$$\mathbf{I}_{\text{BX1}} = (\mathbf{D} + \mathbf{F} + \mathbf{E})^{-1} \frac{Z_{\text{BX}}(j\omega_{\text{BX}})}{R_r + Z_{\text{BX}}(j\omega_{\text{BX}})}\mathbf{I}_{\text{BX}} =$$

$$= \left((\mathbf{F} + \mathbf{E})^{-1} - \frac{(\mathbf{F} + \mathbf{E})^{-1}\mathbf{D}(\mathbf{F} + \mathbf{E})^{-1}}{1 + g} \right) \times$$

$$\times \frac{Z_{\text{BX}}(j\omega_{\text{BX}})}{R_r + Z_{\text{BX}}(j\omega_{\text{BX}})}\mathbf{I}_{\text{BX}}.$$

Окончательное решение исходной системы уравнений:

$$\mathbf{I}_{\text{BX1}} = \frac{I_{\text{BX}}(j\omega_{\text{BX}})Z_{\text{BX}}(j\omega_{\text{BX}})}{Z(j\omega_{\text{BX}})} \times$$

$$\times \begin{pmatrix} \dots \\ -c/(b(b+N)(1+g)Z(j\omega_{\text{BX}} + Nj\omega_r)) \\ 1 - c/((1+g)b^2Z(j\omega_{\text{BX}})) \\ -c/(b(b-N)(1+g)Z(j\omega_{\text{BX}} - Nj\omega_r)) \\ \dots \end{pmatrix},$$

где

$$Z(j\omega) = R_r + Z_{\text{вх}}(j\omega) + Z_{\text{н}}(j\omega);$$

$$Z_{\text{н}}(j\omega) = R_{\text{н}} / (1 + j\omega R_{\text{н}} C_{\text{н}});$$

$$g = \sum_{l=-\infty}^{+\infty} c / \left((b + lN)^2 Z(j\omega_{\text{вх}} + lNj\omega_r) \right).$$

Авторы заявляют об отсутствии конфликта интересов.

ФИНАНСИРОВАНИЕ РАБОТЫ

Работа выполнена при финансовой поддержке Министерства науки и высшего образования Российской Федерации в рамках программы Научного центра мирового уровня “Передовые цифровые технологии” (соглашение от 20.04.2022 № 075-15-2022-311).

СПИСОК ЛИТЕРАТУРЫ

1. *Lin F., Mak P. I., Martins R.P.* // IEEE Circuits and Systems Magazine. 2015. V. 15. № 1. P. 12.
2. *Дроздов А.В., Дроботун Н.Б., Гошин Г.Г., Хорошилов Е.В.* // Докл. Томск. гос. ун-та систем управления и радиоэлектроники. Т. 20. № 1. С. 23.
3. *Аверина Л.И., Бобрешов А.М., Шапошникова Ж.В.* // Физика волновых процессов и радиотехнические системы. 2010. Т. 13. № 4. С. 51.
4. *Кокотов А.А., Помазанов А.В., Шеерман Ф.И. и др.* // Тр. XV Межд. научн.-практ. конф. “Электронные средства и системы управления”. Томск. 20–22 ноября 2019. Томск: В-Спектр. 2019. Т. 1. С. 60.
5. *Романюк В.А., Аунг Б.Б.Х.* // Изв. вузов. Электроника. 2012. № 4. С. 60.
6. *Коротков А.С.* // Микроэлектроника. 2011. Т. 40. № 2. С. 140.
7. *Darabi H., Abidi A.* // IEEE J. Solid-State Circuits. 2000. V. 35. № 1. P. 15.
8. *Mirzaei A., Darabi H., Leete J. et al.* // IEEE Trans. 2010. V. CS-I-57. № 9. P. 2353.
9. *Wu C.Y., Chen Y.T., Liao Y.T.* // IEEE Access. 2021. V. 9. P. 94203.
10. *Krishnamurthy S., Niknejad A.M.* // IEEE Radio Frequency Integrated Circuits Symp. Los Angeles. 4–6 Aug. N.Y.: IEEE, 2020. P. 275.
11. *Bae S., Kim D., Kim D. et al.* // IEEE Trans. 2021. V. CS-I-68. № 2. P. 892.
12. *Mirzaei A., Darabi H.* // IEEE Trans. 2011. V. CS-I-58. № 5. P. 879.
13. *Soer M.C.M., Klumperink E.A.M., de Boer P. et al.* // IEEE Trans. 2010. V. CS-I-57. № 10. P. 2618.
14. *Коротков А.С.* // Микроэлектроника. 2006. Т. 35. № 4. С. 321.
15. *Kenneth S.M.* // Mathematics Magazine. 1981. V. 54. № 2. P. 67.